



## Raport

z badań poziomego natężenia pola elektrycznego  
w otoczeniu stacji bazowej:

# LUB4434

na podstawie sprawozdania 04/06/OŚ/2022 udostępnionego przez Duarte Sp. z o.o.

---

### Laboratorium prowadzące badania

Duarte Sp. z o.o.  
ul. Kwiatowa 10  
80-180 Kowale  
503 749 199

### Zleceniodawca badań

P4 Sp. z o.o.  
  
02-677 Warszawa  
790 500 500  
kontakt@play.pl

Nr akredytacji: AB 1691

Data wydania sprawozdania: 04.07.2022

Raport zawiera wybrane elementy sprawozdania i służy wyłącznie obrazowemu przedstawieniu informacji o danej instalacji. Raport nie może być wykorzystywany w postępowaniach administracyjnych.

## Informacje ogólne

Zgodność z metodyką RMK: Tak

Ograniczenia: Na podstawie art. 122a ust. 1b ustawy Prawo ochrony środowiska (t.j. Dz.U. z 2020 r., poz. 1219, 1378, 1565, 2127, 2338, z 2021 r. poz. 802, 868, 1047, 1162, 1535.), pomiary PEM w lokalach mieszkalnych i użytkowych zlokalizowanych w obszarze pomiarowym badanej stacji bazowej nie zostały przeprowadzone.

Wykorzystanie w obszarze regulowanym: Tak

## Przedmiot badań

<b>Identyfikator stacji w UKE</b>	<b>LUB4434</b>
Operator	P4 Sp. z o.o.
Współrzędne	22,4755556; 51,2786111
Rodzaj pracy	ciągła
Rodzaj wytwarzanego pola	stacjonarne

## Miejsce badań

Otoczenie stacji bazowej LUB4434 w lokalizacji Dębówka, dz. nr 133/4.

## Cel badań

1. Zweryfikowanie zgodności z wymaganiami rozporządzenia Ministra Zdrowia z dnia 19 grudnia 2019 r.

## Opis stacji bazowych

Tabela 1: Opis anten badanych stacji bazowych

Lp.	Identyfikator stacji w UKE	Typ Producent anteny	Azymut	H	EIRP	Pasma	Tilt	Tilt w trakcie pomiarów
			[°]	[m]	[W]	[MHz]	[°]	[°]
1	LUB4434	ADU4516R6 Huawei	10	33,00	5181*	900 800	0,0 - 10,0 0,0 - 10,0	6,0 6,0
2		ADU4518R6 Huawei	10	33,00	21704*	2100 1800	0,0 - 12,0 0,0 - 12,0	6,0 6,0
3		ADU4518R6 Huawei	10	33,00	10122*	2600	0,0 - 12,0	6,0
4		ADU4516R6 Huawei	130	33,00	5181*	900 800	0,0 - 10,0 0,0 - 10,0	6,0 6,0
5		ADU4518R6 Huawei	130	33,00	21704*	2100 1800	0,0 - 12,0 0,0 - 12,0	6,0 6,0
6		ADU4518R6 Huawei	130	33,00	10122*	2600	0,0 - 12,0	6,0
7		ADU4516R6 Huawei	250	33,00	5181*	900 800	0,0 - 10,0 0,0 - 10,0	6,0 6,0
8		ADU4518R6 Huawei	250	33,00	21704*	2100 1800	0,0 - 12,0 0,0 - 12,0	6,0 6,0
9		ADU4518R6 Huawei	250	33,00	10122*	2600	0,0 - 12,0	6,0

\* moc EIRP łączna dla wszystkich częstotliwości anteny

## Warunki pomiarów

Pomiary w wyznaczonych punktach wykonano w następujących warunkach:

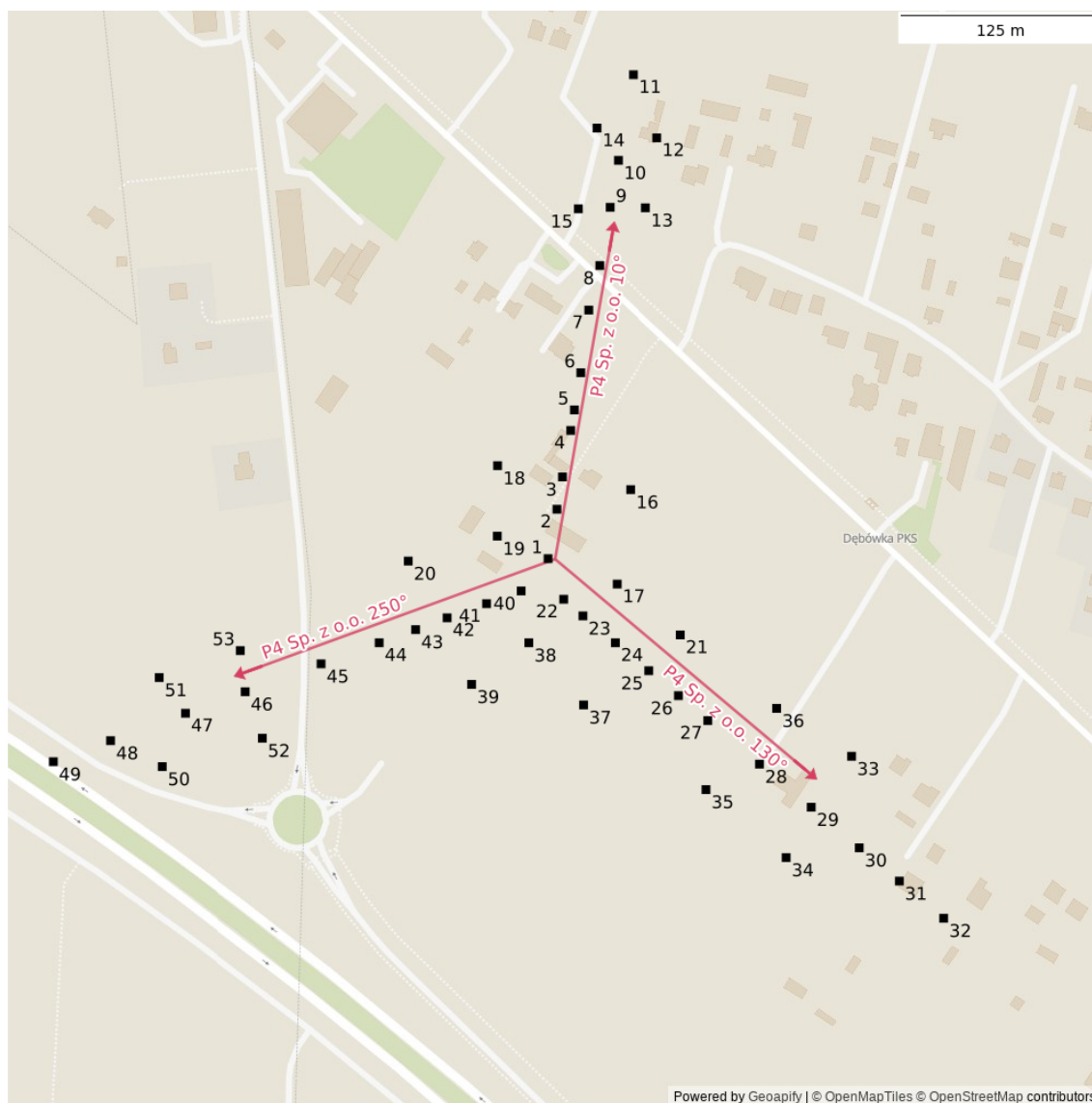
30.06.2022 10:50-12:30			
Warunki środowiskowe	Temperatura [°C]	Wilgotność [%]	Opady
Minimalna	35,1	45,1	brak
Maksymalna	35,6	45,3	

## Aparatura

Tabela 2: Aparatura

MIERNIKI I SONDY					
Lp.	Typ / Nazwa	Model	Producent	Próg detekcji	Świadectwo wzorcowania
1a	miernik	NBM520	Narda		LWiMP/W/03/22 z dn. 04.02.2022 wydane przez Laboratorium Wzorców i Metrologii Pola Elektromagnetycznego Politechnika Wroclawska
1b	sonda	EF-9091	Narda	0,80	

# Lokalizacje pionów pomiarowych



Rysunek 1: Plan terenu

## Wyniki pomiarów szerokopasmowych

Tabela 3: Zestawienie lokalizacji pionów pomiarowych oraz wyników pomiarów natężenia pola elektrycznego, pomiary szerokopasmowe

Nazwa	Data	Współrzędne geograficzne	E	WM <sub>E</sub>	H	WM <sub>H</sub>
		[°]	[ $\frac{V}{m}$ ]		[ $\frac{A}{m}$ ]	
1	30.06.2022	22,4754917 51,2786139	1,76	0,063	0,005	0,064
2	30.06.2022	22,4755722 51,2788944	1,60	0,057	0,004	0,058
3	30.06.2022	22,4756222 51,2790778	1,44	0,051	0,004	0,052

Ciąg dalszy na następnej stronie

Tabela 3: Zestawienie lokalizacji pionów pomiarowych oraz wyników pomiarów natężenia pola elektrycznego, pomiary szerokopasmowe (c.d.)

Nazwa	Data	Współrzędne geograficzne	E	WM <sub>E</sub>	H	WM <sub>H</sub>
		[°]	[ $\frac{V}{m}$ ]		[ $\frac{A}{m}$ ]	
4	30.06.2022	22,4756972 51,2793417	1,28	0,046	0,003	0,047
5	30.06.2022	22,4757306 51,2794583	< 1,28	< 0,046	< 0,003	< 0,047
6	30.06.2022	22,4757889 51,2796694	< 1,28	< 0,046	< 0,003	< 0,047
7	30.06.2022	22,4758611 51,2800250	< 1,28	< 0,046	< 0,003	< 0,047
8	30.06.2022	22,4759611 51,2802778	< 1,28	< 0,046	< 0,003	< 0,047
9	30.06.2022	22,4760556 51,2806083	< 1,28	< 0,046	< 0,003	< 0,047
10	30.06.2022	22,4761306 51,2808750	< 1,28	< 0,046	< 0,003	< 0,047
11	30.06.2022	22,4762667 51,2813611	< 1,28	< 0,046	< 0,003	< 0,047
12	30.06.2022	22,4764778 51,2810028	< 1,28	< 0,046	< 0,003	< 0,047
13	30.06.2022	22,4763750 51,2806056	< 1,28	< 0,046	< 0,003	< 0,047
14	30.06.2022	22,4759361 51,2810583	< 1,28	< 0,046	< 0,003	< 0,047
15	30.06.2022	22,4757667 51,2806000	< 1,28	< 0,046	< 0,003	< 0,047
16	30.06.2022	22,4762417 51,2790056	1,28	0,046	0,003	0,047
17	30.06.2022	22,4761194 51,2784694	1,44	0,051	0,004	0,052
18	30.06.2022	22,4750333 51,2791417	< 1,28	< 0,046	< 0,003	< 0,047
19	30.06.2022	22,4750306 51,2787417	1,28	0,046	0,003	0,047
20	30.06.2022	22,4742222 51,2786000	< 1,28	< 0,046	< 0,003	< 0,047
21	30.06.2022	22,4766917 51,2781806	1,28	0,046	0,003	0,047
22	30.06.2022	22,4756333 51,2783833	1,76	0,063	0,005	0,064
23	30.06.2022	22,4758083 51,2782889	< 1,28	< 0,046	< 0,003	< 0,047
24	30.06.2022	22,4761028 51,2781361	1,60	0,057	0,004	0,058

Ciąg dalszy na następnej stronie

Tabela 3: Zestawienie lokalizacji pionów pomiarowych oraz wyników pomiarów natężenia pola elektrycznego, pomiary szerokopasmowe (c.d.)

Nazwa	Data	Współrzędne geograficzne	E	WM <sub>E</sub>	H	WM <sub>H</sub>
		[°]	[ $\frac{V}{m}$ ]		[ $\frac{A}{m}$ ]	
25	30.06.2022	22,4764056 51,2779778	1,28	0,046	0,003	0,047
26	30.06.2022	22,4766750 51,2778361	1,28	0,046	0,003	0,047
27	30.06.2022	22,4769417 51,2776944	< 1,28	< 0,046	< 0,003	< 0,047
28	30.06.2022	22,4774111 51,2774472	< 1,28	< 0,046	< 0,003	< 0,047
29	30.06.2022	22,4778806 51,2772028	< 1,28	< 0,046	< 0,003	< 0,047
30	30.06.2022	22,4783167 51,2769722	< 1,28	< 0,046	< 0,003	< 0,047
31	30.06.2022	22,4786806 51,2767833	< 1,28	< 0,046	< 0,003	< 0,047
32	30.06.2022	22,4790833 51,2765722	< 1,28	< 0,046	< 0,003	< 0,047
33	30.06.2022	22,4782472 51,2774917	< 1,28	< 0,046	< 0,003	< 0,047
34	30.06.2022	22,4776528 51,2769167	< 1,28	< 0,046	< 0,003	< 0,047
35	30.06.2022	22,4769250 51,2773028	< 1,28	< 0,046	< 0,003	< 0,047
36	30.06.2022	22,4775667 51,2777639	< 1,28	< 0,046	< 0,003	< 0,047
37	30.06.2022	22,4758139 51,2777833	1,44	0,051	0,004	0,052
38	30.06.2022	22,4753167 51,2781361	1,60	0,057	0,004	0,058
39	30.06.2022	22,4747972 51,2779000	1,44	0,051	0,004	0,052
40	30.06.2022	22,4752472 51,2784306	1,76	0,063	0,005	0,064
41	30.06.2022	22,4749333 51,2783583	1,60	0,057	0,004	0,058
42	30.06.2022	22,4745750 51,2782778	1,44	0,051	0,004	0,052
43	30.06.2022	22,4742889 51,2782111	1,44	0,051	0,004	0,052
44	30.06.2022	22,4739583 51,2781361	1,28	0,046	0,003	0,047
45	30.06.2022	22,4734306 51,2780167	< 1,28	< 0,046	< 0,003	< 0,047

Ciąg dalszy na następnej stronie

Tabela 3: Zestawienie lokalizacji pionów pomiarowych oraz wyników pomiarów natężenia pola elektrycznego, pomiary szerokopasmowe (c.d.)

Nazwa	Data	Współrzędne geograficzne	E	WM <sub>E</sub>	H	WM <sub>H</sub>
		[°]	[ $\frac{V}{m}$ ]		[ $\frac{A}{m}$ ]	
46	30.06.2022	22,4727417 51,2778583	< 1,28	< 0,046	< 0,003	< 0,047
47	30.06.2022	22,4722000 51,2777361	< 1,28	< 0,046	< 0,003	< 0,047
48	30.06.2022	22,4715194 51,2775806	< 1,28	< 0,046	< 0,003	< 0,047
49	30.06.2022	22,4710000 51,2774611	< 1,28	< 0,046	< 0,003	< 0,047
50	30.06.2022	22,4719889 51,2774333	< 1,28	< 0,046	< 0,003	< 0,047
51	30.06.2022	22,4719611 51,2779389	< 1,28	< 0,046	< 0,003	< 0,047
52	30.06.2022	22,4728972 51,2775944	< 1,28	< 0,046	< 0,003	< 0,047
53	30.06.2022	22,4726972 51,2780917	< 1,28	< 0,046	< 0,003	< 0,047

## Podsumowanie

Na podstawie wyników pomiarów pola elektromagnetycznego przedstawionych w niniejszym raporcie o nr 04/06/OŚ/2022 opracowanym przez Duarte Sp. z o.o. stwierdza się, że w otoczeniu stacji bazowej LUB4434 dopuszczalne poziomy pól elektromagnetycznych w środowisku, określone w przepisach wydanych na podstawie art. 122 ust. 1 ustawy z dnia 27 kwietnia 2001 r. – Prawo ochrony środowiska uznaje się za **dotrzymane**. Udokumentowano, że w żadnym pionie pomiarowym wartości wskaźnikowe WM<sub>E</sub> oraz WM<sub>H</sub> nie przekroczyły 1.

## Osoby odpowiedzialne

Wykonanie pomiarów: b.d.

Opracowanie sprawozdania: b.d.

Autoryzacja sprawozdania: Edward Szczepaniuk (Kierownik laboratorium)